

วิธีควบคุมเดดบีทแบบทำนายปรับตัวได้เพื่อลดการสั่นสะเทือนของคานปลายอิสระ¹ Adaptive Predictive Deadbeat Control to Suppress Vibration of Cantilever Beam

อำนาจ อิมเจริญ^{1*}, สินชัย ชินวรรัตน์² และ จันกลักษณ์³
1,2,3 ภาควิชาวิศวกรรมเครื่องกล สถาบันเทคโนโลยีพระจอมเกล้าฯ พระนครเหนือ¹
1518 ถ.พิบูลสงคราม บางซื่อ กรุงเทพฯ 10800
โทรศัพท์ 02-9132500 ต่อ 8308 โทรสาร 02-5870026

* อีเมล์ mme58105@hotmail.com ¹ อีเมล์ sch@kmitnb.ac.th ³ อีเมล์ chak@kmitnb.ac.th

Umnat Imcharune^{1*}, Sinchai Chinvorarat² and Chak Chantalakhana³

Department of Mechanical Engineering, Faculty of Engineering King Mongkut's Institute of Technology North
Bangkok , Piboolsongkram Rd.10800 Thailand Tel:(662)9132500 Ext.8311 Fax:(662) 5870026

บทคัดย่อ

บทความนี้นำเสนอวิธีการใหม่ในการประยุกต์ใช้วิธีควบคุมเดดบีทแบบทำนายปรับตัวได้เพื่อลดการสั่นสะเทือนของคานอิสระโดยเน้นไปที่ความถี่ต่างๆ ซึ่งวิธีการนี้เป็นการรวมหลักการของการทำนายเอกลักษณ์ของระบบ (System Identification) และระบบควบคุมแบบทำนาย (Predictive Control) เข้าด้วยกันโดยมีการสร้างเมทริกซ์ข้อมูลด้วยหลักการทำนายເອຫຼຸດແບບຫລາຍໜັນ (multi-Steps) จากแบบจำลองสมการถดถอยรวมกับอินพູຕູພາຍນອກ (Auto Regressive with eXogenous input : ARX) ด้วยควบคุมสร้างจากเมทริกซ์ข้อมูลประด້າຍข้อมูลอินพູຕູและເອຫຼຸດໃຫ້ເທິດນີ້ເຄອຫຼືພິຣີສແກວ່ຽວ (Recursive Least-Square Technique) ซึ่งวิธีการนີ້ມີພາරາມີເຕອົກຈຸດສອງປະກາດໄດ້ແກ່ Control Horizon (q) และ ARX Model Order (p) เพื่อควบคุมໂມເມນຕີດຕໍ່ด້ວຍວັດດີໃຫ້ເລັກທິກິດໄທກັບຄານອຸລົມເນື່ອມປລາຍອີສະເປົ້າເພື່ອลดຮະດັບການສັ່ນສະເໜີນທີ່ເກີດຂຶ້ນ ພັດທະນາມີເອະນຸມັດກົດສອງການທີ່ກະຕຸ້ນໃນຂ່າງ 0-500 Hz ທຳໄທເກີດໂທມດການສັ່ນສະເໜີນທີ່ການທີ່ 26.4 Hz, 171.1 Hz ແລະ 481.9 Hz ດ້ວຍควบคุมກົດສອງການສັ່ນສະເໜີນທີ່ກີດຂຶ້ນໃຫ້ເລັດຕໍ່າລົງໄດ້ເປັນ 98.52%, 74.67% ແລະ 94.24% ດາວັນດັບເນື່ອເທິນກັບການສັ່ນສະເໜີນທີ່ເກີດຂຶ້ນໄດ້ແກ່ Control Weight, Predictive Horizon และ Control Horizon ທີ່ໃຊ້ໃນການອອກແບບດ້ວຍควบคุมແລະເປັນການຮັບຮອງເສັ່ຍງກາພຂອງຮະບນควบคุมອີສະເປົ້າທີ່ມີການປົງປັດດີ

Abstract

This paper presents on innovative of adaptive predictive deadbeat control approach to suppress vibration of cantilever beam at different frequencies. The method combine the concept of system identification and predictive control together. The multi-step ahead predictor is used to derive the data matrix based on

the Auto-Regressive with eXogenous input model (ARX model). This controller can be constructed from data matrix along with input and output data using Recursive Least-Square Technique. This approach has “two” design parameters given by a control horizon (q) and ARX model order (p). Piezoelectric material is used to be control actuator for creating bending moment to suppress the vibration of the cantilever beam. The experimental shows that the natural frequency at 26.4 Hz, 171.1 Hz and 481.9 Hz are occurred during 0-500 Hz exciting frequency. The designed controller is capable to adapt and reduce the vibration percentage to 98.52%, 74.67% and 94.24% respectively comparing to uncontrol cantilever beam.

Keyword : identified matrix, recursive least-square, adaptive predictive control ,suppress vibration

1. บทนำ

ແນວຄວາມຄິດຂອງຮະບນควบคุมแบบทำนายໄດ້ຖືກແນ່ນໜ້າໂດຍ Richalet, Rault, Testud และ Papon [1] ໃນຮາວປລາຍຄວິສຕ່າງໆ ເຊັ່ນວ່າ ລັບການສັ່ນສະເໜີນທີ່ກີດຂຶ້ນໄດ້ມີກົດສອງການທີ່ກະຕຸ້ນໃນຂ່າງ 0-500 Hz ທຳໄທເກີດໂທມດການສັ່ນສະເໜີນທີ່ກີດຂຶ້ນໃຫ້ເລັດຕໍ່າລົງໄດ້ເປັນ 98.52%, 74.67% ແລະ 94.24% ດາວັນດັບເນື່ອເທິນກັບການສັ່ນສະເໜີນທີ່ເກີດຂຶ້ນໄດ້ແກ່ Control Weight, Predictive Horizon และ Control Horizon ທີ່ໃຊ້ໃນການອອກແບບດ້ວຍควบคุมແລະເປັນການຮັບຮອງເສັ່ຍງກາພຂອງຮະບນควบคุม

เนื่องจากระบบควบคุมแบบทำนายเป็นรูปแบบหนึ่งของระบบควบคุมแบบโมเดลเบส ดังนั้นโมเดลที่ถูกต้องของระบบจึงเป็นสิ่งจำเป็นในการสร้างตัวควบคุมโดยทั่วไปนั้นสามารถถ้าแก้การสร้างระบบควบคุมได้สองขั้นตอนคือการสร้างแบบจำลองทางคณิตศาสตร์และการออกแบบตัวควบคุม แบบจำลองที่เรียกว่า Auto Regressive with eXogenous input (ARX) คือแบบจำลองที่นักวิจัยส่วนมากนิยมใช้เป็นแบบจำลองทางคณิตศาสตร์ที่อธิบายพฤติกรรมของระบบ

ระบบควบคุมแบบทำนายที่ประยุกต์วิธีการหาเอกสารลักษณ์ของระบบเข้ากับระบบควบคุมแบบทำนายอัลกอริทึมแบบนี้จะรวมการหาเอกสารลักษณ์เข้ากับกฎการควบคุมแบบทำนาย โดยการใช้การทำนายแบบก้าวหน้า กฎการควบคุมจะถูกสร้างจากเมทริกซ์เอกสารลักษณ์ด้วยวิธีรีเคอชีฟรีสแควร์เมทริกซ์เอกสารลักษณ์จะสามารถลดข้อผิดพลาดระหว่างสัญญาณเอาท์พุทที่แท้จริงและเอาท์พุทแบบประมาณ วิธีการนี้จะสร้างกฎการควบคุมเดบีทแบบทำนายจากข้อมูลอินพุท-เอาท์พุทโดยตรงโดยมีพารามิเตอร์ควบคุมสองประการได้แก่ Control Horizon และ ARX Model Order วิธีการนี้นำมาประยุกต์ใช้ในการควบคุมความสั่นสะเทือนของคนอ่อนนุ่มในปลายอิสระเพื่อลดการสั่นสะเทือนที่เกิดขึ้น

2. การทำนายเอาท์พุทแบบก้าวหน้า

ความสัมพันธ์ระหว่างอินพุท-เอาท์พุทของระบบเชิงเส้นอธิบายโดยแบบจำลองไฟไนต์ดิฟเฟอเรนซ์ กำหนดให้ r คือ จำนวนอินพุทและ m คือจำนวนเอาท์พุท แบบจำลองไฟไนต์ดิฟเฟอเรนซ์มีอินพุท $u(k)$ ขนาด $r \times 1$ และเอาท์พุท $y(k)$ ขนาด $m \times 1$ ที่เวลา k สามารถอธิบายโดยสมการ

$$y(k) = \alpha_1 y(k-1) + \alpha_2 y(k-2) + \dots + \alpha_p y(k-p) + \beta_0 u(k) + \beta_1 u(k-1) + \beta_2 u(k-2) + \dots + \beta_p u(k-p) \quad (1)$$

โดยแสดงให้เห็นว่าเอาท์พุทที่เวลาปัจจุบันสามารถทำนายจากข้อมูลอินพุทและเอาท์พุทที่เวลาอดีต แบบจำลองไฟไนต์ดิฟเฟอเรนซ์ดังกล่าวเทียบได้กับ ARX โมเดล AR คือ AutoRegressive และ X คือ eXogenous โดยสัมประสิทธิ์เมทริกซ์ $\alpha_i (i=1,2,\dots,p)$ ขนาด $m \times m$ และ $\beta_i (i=0,1,\dots,p)$ ขนาด $m \times r$ คือ Observer Markov Parameters (OMP) หรือ ARX Parameters เมทริกซ์ β_0 คือทอมไดเรกท์รานมิสชั่นสมการที่ (1) สามารถจัดอยู่ในรูปตัวทำนายแบบก้าวหน้าในรูปของความสัมพันธ์

$$y_p(k+q) = T' u_{p+q}(k) + B' u_p(k-p) + A' y_p(k-p) \quad (2)$$

โดยที่

$$y_p(k) = \begin{bmatrix} y(k+q) \\ y(k+q+1) \\ \vdots \\ y(k+q+p-1) \end{bmatrix}, u_{q+p}(k) = \begin{bmatrix} u(k) \\ u(k+1) \\ \vdots \\ u(k+q+p-1) \end{bmatrix}$$

$$y_p(k-p) = \begin{bmatrix} y(k-p) \\ y(k-p+1) \\ \vdots \\ y(k-1) \end{bmatrix}, u_p(k-p) = \begin{bmatrix} u(k-p) \\ u(k-p+1) \\ \vdots \\ u(k-1) \end{bmatrix} \quad (3)$$

$$T' = \begin{bmatrix} \beta_0^{(q+1)} & \beta_0^{(q)} & \dots & \beta_0^{(1)} & \beta_0 & 0 & \dots & 0 \\ \beta_0^{(q+2)} & \beta_0^{(q+1)} & \dots & \beta_0^{(2)} & \beta_0^{(1)} & \beta_0 & \dots & 0 \\ \vdots & \vdots & \ddots & \vdots & \vdots & \vdots & \ddots & \vdots \\ \beta_0^{(q+p-1)} & \beta_0^{(q+p-2)} & \dots & \beta_0^{(p)} & \beta_0^{(p-1)} & \beta_0^{(p-2)} & \dots & \beta_0 \end{bmatrix}$$

$$B' = \begin{bmatrix} \beta_p^{(q)} & \beta_{p-1}^{(q)} & \dots & \beta_1^{(q)} \\ \beta_p^{(q+1)} & \beta_{p-1}^{(q+1)} & \dots & \beta_1^{(q+1)} \\ \vdots & \vdots & \ddots & \vdots \\ \beta_p^{(q+p-1)} & \beta_{p-1}^{(q+p-1)} & \dots & \beta_1^{(q+p-1)} \end{bmatrix} \quad (4)$$

$$A' = \begin{bmatrix} \alpha_p^{(q)} & \alpha_{p-1}^{(q)} & \dots & \alpha_1^{(q)} \\ \alpha_p^{(q+1)} & \alpha_{p-1}^{(q+1)} & \dots & \alpha_1^{(q+1)} \\ \vdots & \vdots & \ddots & \vdots \\ \alpha_p^{(q+p-1)} & \alpha_{p-1}^{(q+p-1)} & \dots & \alpha_1^{(q+p-1)} \end{bmatrix}$$

เวคเตอร์ $y_p(k+q)$ แสดงถึงเอาท์พุทในอนาคตด้วยจำนวนข้อมูล p จุด จากเวลา $k+q$ ถึง $k+q+p-1$ ขณะที่ $y_p(k-p)$ คือ เอาท์พุทในอดีตด้วยจำนวนข้อมูล p จุด จากเวลา $k-p$ ถึง $k-1$ ในทำนองเดียวกันเวคเตอร์ $u_{q+p}(k)$ แสดงถึงอินพุทในอนาคตด้วยจำนวนข้อมูล $q+p$ จากเวลา k ถึง $k+q+p-1$ ขณะที่ $u_p(k-p)$ คืออินพุทในอดีตด้วยข้อมูลจำนวน p จากเวลา $k-p$ ถึง $k-1$ เมทริกซ์ T' คือรูปแบบด้วย $\beta_0, \beta_0^{(1)}, \dots, \beta_0^{(q+p-1)}$ (เพาส์เรสปอนซ์เคานต์)

3. การออกแบบระบบควบคุมเดบีทแบบทำนาย

อัลกอริทึมการควบคุมเดบีทมีการพัฒนาหลักหลายใช้การทำนายเอาท์พุทแบบก้าวหน้าในสมการที่ (2) ในระหว่างอัลกอริทึมนี้ได้เรครอเล็กอริทึมใช้ข้อมูลอินพุทและเอาท์พุทโดยตรงซึ่งปราศจากการใช้ $\alpha_i (i=1,2,\dots,p)$ และ $\beta_i (i=0,1,\dots,p)$ ในการคำนวณ B' และ A' และการออกแบบตัวควบคุมเดบีทแบบทำนาย การทำได้โดยอัลกอริทึมเป็นวิธีการที่เหมาะสมสำหรับเรียลไทม์ในตัวควบคุมเดบีทจะมีข้อมูลใหม่ๆทุกๆเวลา ระหว่างการสั่นสัญญาณแล้วเลือกการคำนวณ

ด้วยรีเครอเรซิลเพื่อหลีกเลี่ยงการหาอินเวอร์สมเมทริกซ์ ทางเลือกอัลกอริทึมคือการพัฒนาในส่วนนี้

กำหนดให้ T' แบบเป็นสองส่วนจากสมการที่ (2)

$$y_p(k+q) = T_o u_p(k+q) + T_c u_q(k) + B' u_p(k-p) + A' y_p(k-p) \quad (5)$$

โดยที่

$$u_p(k+q) = \begin{bmatrix} u(k+q) \\ u(k+q+1) \\ \vdots \\ u(k+q+p-1) \end{bmatrix} \cdot u_q(k) = \begin{bmatrix} u(k) \\ u(k+1) \\ \vdots \\ u(k+q-1) \end{bmatrix} \quad (6)$$

$$T_o = \begin{bmatrix} \beta_0 & 0 & \cdots & 0 \\ \beta_0^{(1)} & \beta_0 & \cdots & 0 \\ \vdots & \vdots & \ddots & \vdots \\ \beta_0^{(p-1)} & \beta_0^{(p-2)} & \cdots & \beta_0 \end{bmatrix} \quad (7)$$

$$T_c = \begin{bmatrix} \beta_0^{(q)} & \beta_0^{(q-1)} & \cdots & \beta_0^{(1)} \\ \beta_0^{(q+1)} & \beta_0^{(q)} & \cdots & \beta_0^{(2)} \\ \vdots & \vdots & \ddots & \vdots \\ \beta_0^{(q+p-1)} & \beta_0^{(q+p-2)} & \cdots & \beta_0^{(p)} \end{bmatrix}$$

เมทริกซ์ T_o ขนาด $pm \times qr$ และเมทริกซ์ T_c ขนาด $pm \times qr$ ถูกสร้างจากเพาส์เรสปอนของระบบ (System Markov Parameters) หมายเหตุ m คือจำนวนເອົາພຸກ p คือໂມເດລອອເດັວ r คือจำนวนອິນພຸກ และ q คือจำนวนເຕີມ ເມທຽກຂໍ T_o, T_c, A' และ B' ສາມາດສ້າງຈາກຂໍອມລືອນພຸກ-ເອົາພຸກ ໃນສາມາດ (5) ໄນມາຍເຫຼຸດມາຍເຫຼຸດ T_c ຄືອເຊັ່ນເຄລ-ໄລຄມເທຣິກ໌ໜຶ່ງມີແຮງຂໍ n ໂດຍທີ່ n ຄືອອເດັວຂອງຮະບັບ ໃນກຣັບ $qr \geq pm \geq n$ ສາມາດຈະມີອິນພຸກ $u_q(k)$ ຈຳນວນ qr ຈາກຂາດ $qr \times 1$ ທີ່ມີ n ສາມາດທີ່ອິສະຕ່ອກກັນ ດັ່ງສາມາດ (5) ຈະທຳໃຫ້ສ້າງຄໍາຕອບຫລາຍງານແບບສໍາຫັບ $u_q(k)$ ໂດຍທີ່ຄໍາຕອບມີນອຽມມີນິມັນແສດງໄດ້ໂດຍ

$$u_q(k) = T_c^* y_p(k+q) - T_c^* T_o u_p(k+q) - T_c^* B' u_p(k-p) - T_c^* A' y_p(k-p) \quad (8)$$

ຫຼືໄນ້ປະເມມາຍ

$$u_q(k) = \begin{bmatrix} -T_c^* A' & -T_c^* B' & T_c^* & -T_c^* T_o \end{bmatrix} \begin{bmatrix} y_p(k-p) \\ u_p(k-p) \\ y_p(k+q) \\ u_p(k+q) \end{bmatrix} \quad (9)$$

ໃນກຣັບ $qr = pm$ ສາມາດ (9) ຈະໄຫ້ຄໍາຕອບເດືອນ ເພື່ອໃຫ້ເຂົ້າສຳເນົາກຣັບ (9) ໄດ້ຮ່າງຂຶ້ນໂດຍກໍາຫັດສູງລັກຂັກ

$$F_c = \begin{bmatrix} -T_c^* A' & -T_c^* B' \end{bmatrix} \text{ ແລະ } F_o = \begin{bmatrix} T_c^* & -T_c^* T_o \end{bmatrix} \quad (10)$$

$$v_p(k-p) = \begin{bmatrix} y_p(k-p) \\ u_p(k-p) \end{bmatrix} \text{ ແລະ } v_p(k+q) = \begin{bmatrix} y_p(k+q) \\ u_p(k+q) \end{bmatrix} \quad (11)$$

ໂດຍທີ່ເມທຽກຂໍ F_c ແລະ F_o ຂາດ $qr \times p(m+r)$ ເວັບເຕັກ $v_p(k-p)$ ແລະ $v_p(k+q)$ ຂາດ $(pm+pr) \times 1$ ສາມາດ (9) ຈະຍູ້ໃນປຸງ

$$u_q(k) = \begin{bmatrix} F_c & F_o \end{bmatrix} \begin{bmatrix} v_p(k-p) \\ v_p(k+q) \end{bmatrix} \quad (12)$$

ສາມາດ (12) ຄືອື່ງກຽບແບບຂອງໄຟໄຟເຕີຟເພື່ອເຮັດໃນກຣັບ F_c ແລະ F_o ທີ່ກໍາຫັດຈະມີເຫັນພຸກ-ເອົາພຸກ ທີ່ກໍາຫັດຈະມີເຫັນພຸກ-ເອົາພຸກ ໃນກຣັບ $v_p(k-p)$ ແລະ $v_p(k+q)$ ພະຍານກຣັບ $(pm+pr) \times 1$ ສາມາດ (12) ຈະຍູ້ໃນປຸງ

ກໍາຫັດໃຫ້ອິນພຸກເວັບເຕັກ $u_q(k)$ ເປັນດັ່ງນີ້

$$u_q(k) = F_c v_p(k-p) \quad (13)$$

ສາມາດ (12) ເປັນຈິງຕາມສາມາດຕ້ອງເປັນຫຼຸ້ນຍົງ

$$F_o v_p(k+q) = \begin{bmatrix} T_c^* & -T_c^* T_o \end{bmatrix} \begin{bmatrix} y_p(k+q) \\ u_p(k+q) \end{bmatrix} = 0 \quad (14)$$

ຕ້າງ T_c^* ຂາດ $qr \times pm$ ແຮງຕື່ມຄືອ pm ທີ່ $qr \geq pm$ ແລະ $u_p(k+q)$ ເປັນຫຼຸ້ນຍົງ ດັ່ງນີ້ $y_p(k+q)$ ຈຶ່ງກໍາລາຍເປັນຫຼຸ້ນຍົງຜລກາຮຽນຄວບຄຸມ $u_q(k)$ ຄຳນວນຈາກສາມາດ (13) ອີກຕ້າວຄວບຄຸມເດັບປົກທີ່ກໍາທຳໃຫ້ $y_p(k+q)$ ມີລັງຈາກລຳດັບຂັ້ນເວລາ q ເປັນຫຼຸ້ນຍົງ ຈຳນວນເຕີມ q ອີກ Deadbeat Control Horizon ຈຳນວນເຕີມ p ອີກ System Identification (or observer) horizon ເງື່ອນໄຂ $qr \geq pm$ ມາຍຄື່ງ ກາຮຽນຄວບຄຸມໄໝວ່າເຮົາກວ່າສານະກາຮຽນສັງເກດກຣັບ

ສາມາດ (6) r ແລະ ແກ່າວຂອງ $u_q(k)$ ອີກເວັບເຕັກອິນພຸກ $u(k)$ ທີ່ເວລາ k ກໍາຫັດໃຫ້ F_{c1} ແລະ F_{o1} ເຊັ່ນເດືອນ r ແລະ ແກ່າວຂອງ F_c ແລະ F_o ຕາມລຳດັບກາຮຽນຄວບຄຸມທີ່ $u(k)$

$$u(k) = [\text{the first } r \text{ rows of } F_c] v_p(k-p) = F_{c1} v_p(k-p) \quad (15)$$

ໂດຍທີ່ F_{c1} ອີກ ເມທຽກຂໍຄວບຄຸມ r ແລະ ແກ່າວຂອງສາມາດ (12)

$$u(k) = (\text{the first } r \text{ rows of } [F_c \ F_o]) \begin{bmatrix} v_p(k-p) \\ v_p(k+q) \end{bmatrix} \quad (16)$$

$$= [F_{c1} \ F_{o1}] \begin{bmatrix} v_p(k-p) \\ v_p(k+q) \end{bmatrix}$$

สมการที่ (16) แสดงถึงอินพุต $u(k)$ คือ ความสัมพันธ์ของลำดับอินพุต $u(k-p)$ ถึง $u(k-1)$ และ ลำดับเอาท์พุต $y(k-p)$ ถึง $y(k-1)$ ที่ผ่านมา ลำดับอินพุต $u(k+q)$ ถึง $u(k+q+p-1)$ และ ลำดับเอาท์พุต $y(k+q)$ ถึง $y(k+q+p-1)$ ในอนาคต ทั้งหมดของลำดับขั้นเวลา q จาก k ถึง $k+q-1$ ผลิต่างของจำนวนเต็ม q ก่อให้เกิดเซทดผลิต่างของ เมตริกซ์สัมประสิทธิ์ F_{c1} และ F_{o1} ทำให้สมการที่(16) เป็นจริงในการหา คำตอบ สมการที่ (16) กำหนดให้ตามเมทริกซ์นี้

$$U(k) = [u(k) \ u(k+1) \ \dots \ u(N-p-q+1)]$$

$$V_p(k-p) = \begin{bmatrix} y(k-p) & y(k-p+1) & \dots & y(N-2p-q+1) \\ u(k-p) & u(k-p+1) & \dots & u(N-2p-q+1) \\ \vdots & \vdots & \ddots & \vdots \\ y(k-1) & y(k) & \dots & y(N-p-q) \\ u(k-1) & u(k) & \dots & y(N-p-q) \end{bmatrix}$$

$$V_p(k+q) = \begin{bmatrix} y(k+q) & y(k+q+1) & \dots & y(N-p+1) \\ u(k+q) & u(k+q+1) & \dots & y(N-p+1) \\ \vdots & \vdots & \ddots & \vdots \\ y(k+q+p-1) & y(k+q+p) & \dots & y(N) \\ u(k+q+p-1) & u(k+q+p) & \dots & u(N) \end{bmatrix} \quad (17)$$

โดยที่ N คือจำนวนข้อมูลที่ใช้ในการประมาณค่าเมทริกซ์ สัมประสิทธิ์ F_{c1} และ F_{o1} ผลจากการประยุกต์ สมการที่ (16)

$$U(k) = [F_{c1} \ F_{o1}] \begin{bmatrix} V_p(k-p) \\ V_p(k+q) \end{bmatrix} \quad (18)$$

ในการที่จะใช้เทคนิค รีสแควร์ ในการหาคำตอบ จำนวนข้อมูล N ที่ใช้ จะต้องมีจำนวนมากเพียงพอ เมทริกซ์ $U(k)$ ขนาด $r \times (N-p-q-k+2)$ มี ранจต r เมทริกซ์ $V_p(k-p)$ ขนาด $p(r+m) \times (N-p-q-k+2)$ และ $V_p(k+q)$ ขนาด $p(r+m) \times (N-p-q-k+2)$ มี ранจต $pr+n$ โดยที่ n คือ ออเดอร์ของระบบ r หมายถึงจำนวนของอินพุตและ m แทนจำนวนของเอาท์พุต สมการที่ (18) หาคำตอบตามรีสแควร์

$$[F_{c1} \ F_{o1}] = U(k) \begin{bmatrix} V_p(k-p) \\ V_p(k+q) \end{bmatrix}^* \quad (19)$$

โดยที่ * หมายถึง pseudo-inverse

4. รีเคอร์ชีลีสแควร์เทคนิค

เทคนิครีเคอร์ชีลีสแควร์สามารถนำมายกตื้นในการคำนวณหา คำตอบของสมการที่ (19) อย่างมีประสิทธิภาพโดยการจัดรูปสมการให้สามารถทำการคำนวณหาคำตอบออนไลน์โดยทั่วไปแล้วมีเทคนิครีเคอร์ชีลีสแควร์อยู่หลายแบบ คลาสิครีเคอร์ชีลีสแควร์เทคนิคจัดเป็น วิธีที่นักวิจัยนิยมใช้เป็นส่วนมากเนื่องจากอัลกอริธึมที่เข้าใจง่ายและมีประสิทธิภาพ ขั้นตอนคลาสิครีเคอร์ชีลีสแควร์ สามารถแสดงได้ ดังนี้

เขียนสมการที่ (16) ในรูปเมทริกซ์

$$u(k) = [F_{c1} \ F_{o1}] \begin{bmatrix} v_p(k-p) \\ v_p(k+q) \end{bmatrix} = F \bar{v}_p(k-1) \quad (20)$$

โดยที่

$$F = [F_{c1} \ F_{o1}], v(k) = \begin{bmatrix} y(k) \\ u(k) \end{bmatrix},$$

$$\bar{v}_p(k-1) = \begin{bmatrix} v(k-p) \\ \vdots \\ v(k-1) \\ v(k+q) \\ \vdots \\ v(k+q+p-1) \end{bmatrix} \quad (21)$$

กำหนดตัวแปร

$$G_p(k) = \frac{\bar{v}_p^T(k) P_p(k-1)}{1 + \bar{v}_p^T(k) P_p(k-1) \bar{v}_p(k)} \quad (22)$$

$$\hat{u}(k+1) = \hat{F}(k) \bar{v}_p(k) \quad (23)$$

จากนั้นทำการคำนวณดังต่อไปนี้

$$P_p(k) = P_p(k-1) [I - \bar{v}_p(k) G_p(k)] \quad (24)$$

$$\hat{F}(k+1) = \hat{F}(k) + [u(k+1) - \hat{u}(k+1)] G_p(k) \quad (25)$$

สมการที่ (22)-(25) ประกอบด้วยรูปแบบพื้นฐานรีเคอร์ชีลีสแควร์ สำหรับคำนวณหาเมทริกซ์ F ซึ่งประกอบด้วย F_{c1} สำหรับอักษรแบบด้วย ควบคุมเดjm และ F_{o1} สำหรับเอกสารแบบ r คำเริ่มต้นของ $P_p(0)$ และ $\hat{F}(1)$ สามารถกำหนดหรือได้มาจากการทำแบบรีสแควร์หลังจาก จำนวนข้อมูลเริ่มแรกมีค่าเพียงพอ หรือให้ $P_p(0)$ มีค่า $dI_{2(r+m)}$

และ $\hat{F}(1)$ มีค่า $0_{r \times 2p(r+m)}$ โดยที่ d คือค่าจำนวนบวกที่มากๆค่าคงที่บวก d คือตัวแปรเดียวที่ต้องการสำหรับการเริ่มต้นการเลือกค่า d ที่เหมาะสมเป็นฐานของประสบการณ์ที่เหมาะสมแนะนำความโน้มเอียงด้วยการประมาณค่าตัวแปร $\hat{F}(k)$ โดยวิธีเครื่องซีลรีสแควร์สำหรับความก้าวของข้อมูลมากๆค่าความแనน่อนของค่าคงที่เริ่มต้นคือไม่ใช่สิ่งสำคัญ

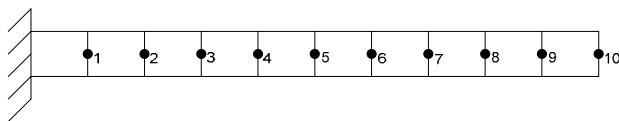
5. ขั้นตอนการคำนวณ

วิธีการคำนวณเวคเตอร์ควบคุมแบบทำนายสามารถแสดงได้เป็นขั้นตอนดังต่อไปนี้

1. จากข้อมูลอินพุตและเอาท์พุตที่มีจำนวนมากเพียงพอนำมาสร้างเมทริกซ์ $U(k), V_p(k-p), V_p(k+q)$ ตามสมการที่ (21)
2. ใช้เทคนิครีเครอชีลรีสแควร์ดังสมการ (22)-(25)คำนวณหาเมทริกซ์ $[F_{c1} \quad F_{o1}]$
3. คำนวณหาเวกเตอร์ควบคุมแบบทำนายดังสมการที่ (15)

6. ตัวอย่างการคำนวณระบบควบคุมเดบีกแบบทำนาย

แบบจำลองไฟในตัวอิเล็กทรอนิกส์ของคนอ่อนล้ามเนียมปลายอิสระขนาดยาว 30 ซม. x กว้าง 2.54 ซม. x หนา 0.3 ซม. ใช้เป็นโครงสร้างในการทดสอบการควบคุมเดบีกแบบทำนายซึ่งคานจะถูกแบ่งอิเล็กทรอนิกส์ตามด้านยาวปีน 10 ส่วนเท่าๆกันดังในรูปที่ 1 โดยมี 10 จุดโหนดแต่ละโหนดมีระดับขั้นความอิสระเท่ากับ 2 ซึ่งเป็นการสั่นในแนวขวางและการบิดตัวของคาน เช่นโหนดที่ 1 ประกอบด้วย x_1 และ θ_2 ตามลำดับถูกใช้ในการแสดงประสาทิวภาพของผลที่ได้จากระบบควบคุมเดบีกแบบทำนายเพื่อลดการสั่นสะเทือนของคนอ่อนล้ามเนียมปลายอิสระระบบจำลองแบบหนึ่งอินพุต-หนึ่งเอาท์พุต การคำนวณเชิงตัวเลขของสมการการเคลื่อนที่ในรูปแบบสเตทสเปช (state-space)



รูปที่ 1 ตำแหน่งจุดโหนดของระยะขัดแนวขวางและการบิดตัวจากแบบจำลองไฟในตัวอิเล็กทรอนิกส์ของคนยืน

จากระบบดังรูปที่ 1 ซึ่งเขียนในรูป mass-spring-damper ได้ดังนี้

$$[M]\ddot{x} + [C]\dot{x} + [K]x = \{F\} \quad (26)$$

โดยที่ $[M], [C], [K]$ คือ เมทริกซ์มวล ตัวหน่วง และสปริงตามลำดับจัดให้อยู่ในรูปของ State Space Model จากสมการที่ (26) สามารถเขียนใหม่ได้ดังนี้

$$\begin{bmatrix} [0] & [M] \\ [M] & [C] \end{bmatrix} \begin{Bmatrix} \ddot{x} \\ \dot{x} \end{Bmatrix} + \begin{bmatrix} -[M] & [0] \\ [0] & [K] \end{bmatrix} \begin{Bmatrix} \dot{x} \\ x \end{Bmatrix} = \begin{Bmatrix} \{0\} \\ \{F\} \end{Bmatrix} \quad (27)$$

$$\begin{bmatrix} [0] & [M] \\ [M] & [C] \end{bmatrix} \begin{Bmatrix} \dot{x} \\ x \end{Bmatrix} + \begin{bmatrix} -[M] & [0] \\ [0] & [K] \end{bmatrix} \begin{Bmatrix} x \\ \{0\} \end{Bmatrix} = \begin{Bmatrix} \{0\} \\ \{B_0\} \end{Bmatrix} \quad (28)$$

จาก $\dot{X} = AX + Bu$
 $Y = CX + Du$ (29)

โดยที่

$$A = -\begin{bmatrix} [0] & [M] \\ [M] & [C] \end{bmatrix}^{-1} \begin{bmatrix} -[M] & [0] \\ [0] & [K] \end{bmatrix} \quad (30)$$

$$B = \begin{bmatrix} -[0] & [M] \\ [M] & [C] \end{bmatrix}^{-1} \begin{Bmatrix} 0 \\ \{B_0\} \end{Bmatrix}$$

กำหนด B_0 ในสเตทสเปชโดยให้ Input กระทำที่ x_{19} (โหนดที่ 10) และวัดเอาท์พุตโดยกำหนดเมทริกซ์ C ที่ต่ำแห่งเดียวกับอินพุตคือ x_{19} (โหนดที่ 10)

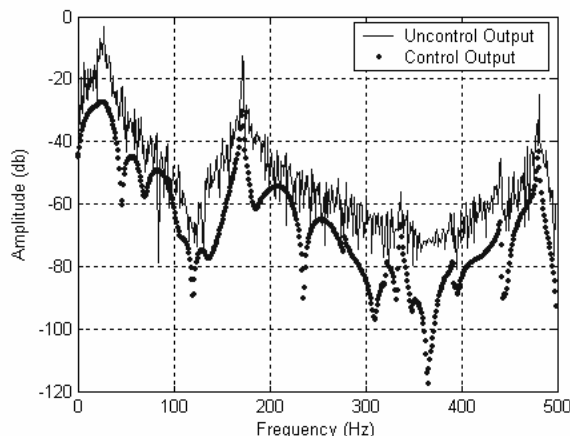
$$B_0 = \begin{bmatrix} 0 \\ 0 \\ 0 \\ \vdots \\ 1 \\ 0 \end{bmatrix}_{20 \times 1} \quad \text{โดยที่ } X = \begin{bmatrix} \dot{x}_1 \\ \dot{\theta}_2 \\ \dot{x}_3 \\ \vdots \\ \dot{x}_{19} \\ \dot{\theta}_{20} \\ x_1 \\ \theta_2 \\ x_3 \\ \vdots \\ x_{19} \\ \theta_{20} \end{bmatrix}_{40 \times 1} \quad (31)$$

แบบจำลอง Discrete-Time State-Space

$$\begin{aligned} x(k+1) &= Ax(k) + Bu(k); \quad k = 0, 1, 2, \dots \\ y(k) &= Cx(k) + Du(k) \end{aligned} \quad (32)$$

โดยค่า Sampling Time (T_s) เท่ากับ 0.001 วินาที

ระบบจำลองคนปลายอิสระมีอเดอร์เท่ากับสิบ ARX Model Order (p) ถูกกำหนดให้มีค่าเท่ากับ p ที่สิบตามอodeอร์ระบบ จำนวนข้อมูลอินพุตและเอาท์พุตที่ได้จากระบบ 1024 ข้อมูลถูกนำมาหาเอกลักษณ์ของระบบ Control Horizon (q) กำหนดให้มีค่าเท่ากับ q ที่สิบ หมายเหตุ ค่า Control Horizon สามารถมีค่าได้ q ที่มากกว่าสิบห้า เอาท์พุตของระบบยังคงเป็นไปตามค่าที่กำหนดเพียงแต่ระบบจะใช้เวลาในการไปสู่ค่าที่ดังไว้มากขึ้นเท่านั้น ตัวควบคุมเดบีกแบบทำนายสามารถคำนวณเวคเตอร์ควบคุมและป้อนค่ากลับให้กับระบบคนปลายอิสระในรูปโมเมนต์ตัดด้วยวัสดุปูโซอิเล็กทริก



รูปที่ 2 เปรียบเทียบสัญญาณการสั่นสะเทือนก่อนและหลังการควบคุม

จากรูปที่ 2 จะเห็นว่าเมื่อมีการควบคุมด้วยอิสระสัญญาณการสั่นสะเทือนที่เกิดขึ้นจะลดต่ำลงเมื่อระบบถูกกระตุ้นในช่วงความถี่ 0-500 Hz ทำให้เกิดใหม่ความสั่นสะเทือนที่ความถี่ 26.4 Hz, 171.1 Hz และ 481.9 มี Amplitude ในแต่ละใหม่ลดลง 98.52%, 74.67% และ 94.24% ตามลำดับ

สรุป

แนวความคิดในการผนวกการหาเอกลักษณ์ของระบบร่วมกับระบบควบคุมแบบท่านายชี้และการออกแบบระบบควบคุมโดยทั่วไปที่มีสองขั้นตอน ได้แก่ การหาเอกลักษณ์ของระบบและการออกแบบตัวควบคุม เวคเตอร์การควบคุมเดินบีทแบบท่านายถูกสร้างจากเมทริกซ์เอกลักษณ์โดยใช้เทคนิคเครอเรซีลรีสแควร์ซึ่งสามารถควบคุมแบบท่านายเพื่อควบคุมโมเมนต์ดัดด้วยวัสดุปิโซหอยเล็กทริกให้กับคนอุปกรณ์มีผลการทดสอบเมื่อระบบมีความถี่กระตุ้นในช่วง 0-500 Hz ทำให้เกิดใหม่ความสั่นสะเทือนที่ความถี่ 26.4 Hz, 171.1 Hz และ 481.9 Hz ตัวควบคุมที่สามารถปรับตัวเองเพื่อควบคุมการสั่นสะเทือนที่เกิดขึ้นให้ลดต่ำลงได้เป็น 98.52%, 74.67% และ 94.24% ตามลำดับเมื่อเทียบกับการณ์คานปลายอิสระที่ไม่มีการปฏิบัติได้

เอกสารอ้างอิง

- [1] Richalet, J., et al. "Model Predictive Heuristic Control : Applications to Industrial Processes." Automatica. 14,5 (1978): 413-428
- [2] Cutler , C.R. and Ramaker , B.L. "Dynamic matrix Control-A Computer Control Algorithm." Proceeding JACC, San Francisco, U.S.A.,1980.
- [3] Chinvorarat, S., and Schoen, M., "Disturbance Rejection in deadbeat Predictive Control" CIRCUITS,SIGNAL,AND SYSTEMS May 19-21,2003

- [4] Juang, J.-N. and Phan, M.G., "Recursive Deadbeat Controller Design," NASA Technical Memorandum
- [5] Soeterboek, R., Predictive Control, A Unified Approach, Prentice-Hall International Series,1992
- [6] Juang, J.-N. and Phan, M.G., "Deadbeat Predictive Controller." NASA Technical Memorandum.
- [7] Juang, J.-N., Applied System Identification, PRT Prentice-Hall Inc., Englewood Cliffs, New Jersey, 1994.